

Численные методы изучения неравновесного критического поведения структурно неупорядоченных систем

Прудников В.В., Прудников П.В., Поспелов Е.А.,
Чабров А.В., Питеримов А.Ю

кафедра теоретической физики
Омский государственный университет
им. Ф.М. Достоевского

- Влияние дефектов структуры на поведение систем при фазовых переходах второго рода;
- Неравновесная коротко-временная критическая динамика;
- Критическое поведение сильно неупорядоченных систем.

$$H = \int d^d x \left[\frac{1}{2} \sum_i^p [(\nabla \phi_i)^2] + \tau_0 \phi_i^2 + \mathbf{V}(\mathbf{x}) \phi_i^2 \right] + \frac{g_0}{4!} (\sum_i^p \phi_i^2)^2$$

$$\langle \langle V(\mathbf{x}) \rangle \rangle = 0 \quad \langle \langle V(\mathbf{x}) V(\mathbf{y}) \rangle \rangle \sim \mathbf{u}(\mathbf{x} - \mathbf{y})$$

однородные системы

$$u(\mathbf{x} - \mathbf{y}) = 0$$

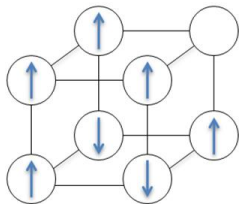
точечные дефекты

$$u(\mathbf{x} - \mathbf{y}) = v \delta^d(\mathbf{x} - \mathbf{y}),$$
$$v \sim V^2 c_{imp}$$

изотропная дальнедействующая корреляция

$$u(\mathbf{x} - \mathbf{y}) \sim |\mathbf{x} - \mathbf{y}|^{-a}$$

Неупорядоченная модель Изинга



- Трехмерная кубическая решетка
- Узел занят магнитным или немагнитным атомом
- Спин может принимать только два положения
- В гамильтониане учитываются только ближайшие соседи спина
- Гамильтониан неупорядоченной модели Изинга есть:

$$H = -J \sum_{\langle i,j \rangle} a_i a_j S_i S_j \quad (1)$$

a_i задаются функцией распределения:

$$P(a_i) = (1 - p)\delta(a_i) + p\delta(1 - a_i)$$

- Расплавленные и замороженные примеси
- Расплавленные примеси:¹
 $x = x * (1 - \alpha_{pure})^{-1}, C(T) \sim (T - T_c)^{-\alpha}$
- Критерий Хариса: $\alpha_{pure} > 0$, новое критическое поведение²
- Теоретико-полевое описание: $\alpha_{pure} = 0.109(4)$ ³
- Порог спиновой перколяции для кубической решетки
 $p_c \approx 0.69$
 - $p_c < p < 1$: **слабо** неупорядоченные системы
 - $p < p_c$: **сильно** неупорядоченные системы

¹ Fisher, ME Phys. Rev. 176 257 (1968)

² Harris A B J. Phys. C: Solid State Phys. 7 1671 (1974)

³ Р.Фольк, Ю.Головач, Т.Яворский, УФН, т.173, с.175(2003)

- Время релаксации: $\tau \sim |T - T_c|^{-z\nu}$
- Основой МКД является существование универсальных временных зависимостей термодинамических функций в том временном промежутке, когда система не достигла состояния равновесия
- На основе ренорм-группового анализа было показано,⁴ что для k -го момента намагниченности реализуется следующая скейлинговая форма:

$$M^{(k)}(t, \tau, L, m_0) = b^{-\frac{k\beta}{\nu}} M^{(k)}(b^{-z}t, b^{1/\nu}\tau, b^{-1}L, b^{x_0}m_0) \quad (2)$$

где b - масштабный фактор, m_0 - приведенная намагниченность, $\tau = \frac{T-T_c}{T_c}$ - приведенная температура

⁴ Janssen H.K., Schaub B., Schmittmann, Z. Phys. B., vol. 73, p. 539, (1989)

Метод коротковременной динамики $m_0 = 1$

Начальное состояние системы: $m_0 = 1$ и $m_0 \ll 1$

Полагая $b = t^{1/z}$ и $m_0 = 1$, получаем намагниченность ($k=1$) в виде:

$$M(t, \tau) = t^{-\beta/\nu z} M(1, t^{1/\nu z} \tau) \sim t^{-\beta/\nu z} (1 + A t^{1/\nu z} \tau + O(\tau^2))$$

В критической точке $\tau \rightarrow 0$:

$$M(t) \sim t^{-\beta/\nu z} \quad (3)$$

Логарифмическая производная намагниченности $\partial_\tau \ln M$:

$$\partial_\tau \ln M(t) \sim t^{1/\nu z} \quad (4)$$

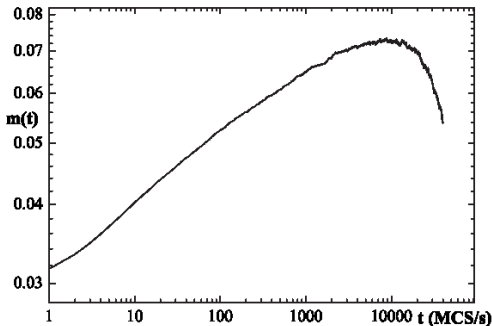
Кумулянт Биндера второго порядка $U_2 = M^{(2)}/M^2 - 1$:

$$U_2(t) \sim t^{d/z} \quad (5)$$

При $\tau \rightarrow 0$ для намагниченности имеет место временная зависимость:

$$M(t) \sim t^{\theta'} \quad (6)$$

Эволюция намагниченности в МКД на примере системы с $p=0.8^5$, $m_0 = 0.03$



⁵P. Prudnikov, V. Prudnikov, E. Pospelov, et. al, Phys. Rev. E (2010)

Второй момент намагниченности и автокорреляционная функция:

$$M^{(2)}(t) \sim t^{c_2}, \quad A(t) \sim t^{-c_a} \quad (7)$$

Показатели c_2 и c_a связаны с известными критическими индексами:

$$c_2 = \left(d - \frac{2\beta}{\nu} \right) \frac{1}{z}, \quad c_a = \left(\frac{d}{z} - \theta' \right) \quad (8)$$

В работе⁶ было предложено рассматривать поведение кумулянта:

$$F_2(t, L) = \frac{M^{(2)}(t, L)|_{m_0=0}}{M(t, L)|_{m_0=1}} \sim \frac{t^{(d-2\beta/\nu)\frac{1}{z}}}{t^{-2\beta/\nu z}} \sim t^{d/z} \quad (9)$$

⁶ R. da Silva, N. A. Alves, J. R. Drugowich de Felicio (2002)

- Линейный размер решетки: $L = 128$, концентрация спинов $p = 0.5, 0.6$;
- Единица времени - шаг Монте-Карло на спин (mcs/s) - переворот всех спинов системы;
- k -й момент намагниченности и автокорреляционная функция:

$$M^{(k)}(t) = \left[\left\langle \left(\frac{1}{\rho L^3} \sum_{i=1}^{\rho L^3} S_i \right)^{(k)} \right\rangle \right],$$
$$A(t) = \left[\left\langle \left(\frac{1}{\rho L^3} \sum_{i=1}^{\rho L^3} S_i(t) S_i(0) \right) \right\rangle \right]. \quad (10)$$

- В качестве реализации метода Монте-Карло используется алгоритм Метрополиса
- Критическая температура⁷ (в единицах J/k):
Слабо неупорядоченные системы:

$$\begin{cases} p=0.95 & T_c = 4.26267(4) \\ p=0.80 & T_c = 3.49948(18) \end{cases}$$

Сильно неупорядоченные системы:

$$\begin{cases} p=0.60 & T_c = 2.42413(9) \\ p=0.50 & T_c = 1.84509(6) \end{cases}$$

⁷ В.В.Прудников, П.В.Прудников, А.Н.Вакилов, А.С.Криницин, ЖЭТФ, т.132, вып.2 (2007)

$$M(t) \sim t^{-\beta/\nu z}$$

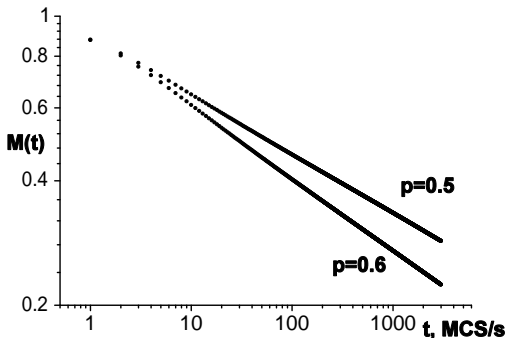


Рис. 1: Временная зависимость намагниченности в двойном логарифмическом масштабе

$$U_2(t) \sim t^{d/z}$$

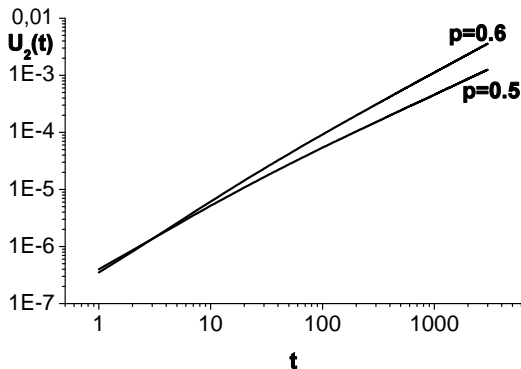


Рис. 2: Временная зависимость кумулянта Биндера второго порядка в двойном логарифмическом масштабе

Таблица 1: Значения критических показателей, полученных аппроксимацией временных зависимостей.

| показатель | $p=0.5$ | $p=0.6$ |
|-------------|----------|----------|
| β | 0.355(5) | 0.354(3) |
| ν | 0.757(8) | 0.729(4) |
| z | 3.27(3) | 2.82(1) |
| β/ν | 0.469(4) | 0.486(2) |

$$X(t) = t^\delta \left(A(p)t^\delta + B(p)t^{-\omega/z} \right) \quad (11)$$

- исследуемый временной интервал $[t_0, t_1]$ разбивался на все возможные интервалы с $\Delta t = 50, \dots, (t_1 - t_0)$, Δt - длина интервала
- на каждом интервале значение ω/z варьировалось в пределах $[0.04, 0.3]$ с шагом 0.5
- для всех ω/z на каждом интервале проводилась аппроксимация полученных данных выражением (11)
- выбирались такие интервалы, на которых достигался минимум по δ для конкретного ω/z
- производилось усреднение выбранных показателей и расчет погрешностей аппроксимации для каждого ω/z

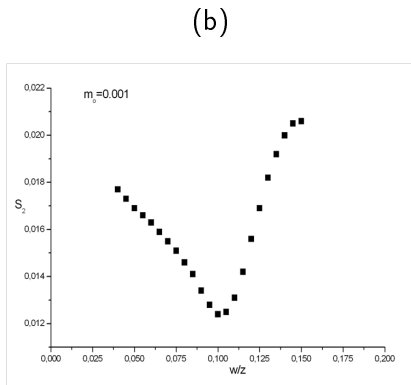
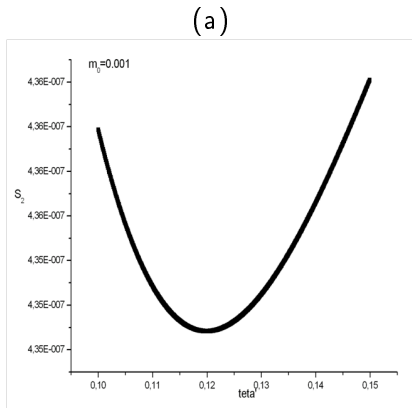


Рис. 3: Зависимость погрешности аппроксимации для индекса θ' . (a) - $\omega/z = 0.1$, интервал - $[800;2100]$; (b) - погрешность по ω/z

Таблица 2: Значения критических показателей, полученных при проведении процедуры поправок к скейлингу

| показатель | $p=0.5$ | $p=0.6$ |
|-------------|-----------|-----------|
| β | 0.314(41) | 0.349(40) |
| ν | 0.711(40) | 0.711(31) |
| z | 2.655(34) | 2.520(95) |
| β/ν | 0.442(25) | 0.490(24) |

$$M(t) \sim t^{\theta'}$$

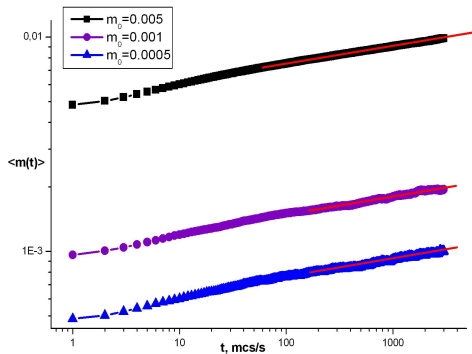


Рис. 4: Временная зависимость намагниченности для начальных состояний с $m_0 = 0.0005, 0.001, 0.005$ в двойном логарифмическом масштабе. $\rho = 0.6$

$$M^{(2)}(t) \sim t^{C_2}$$

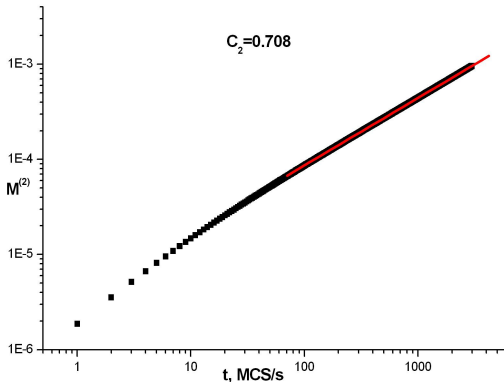


Рис. 5: Временная зависимость второго момента намагниченности в двойном логарифмическом масштабе. $\rho = 0.6$

$$A(t) \sim t^{-C_a}$$

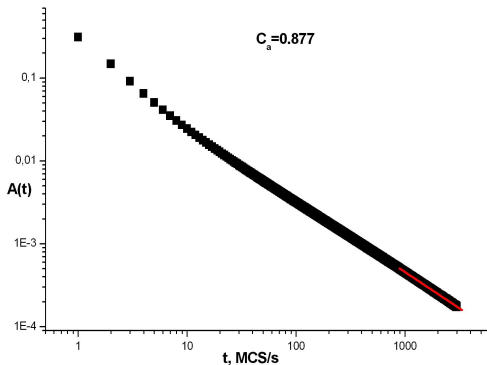


Рис. 6: Временная зависимость автокрреляционной функции в двойном логарифмическом масштабе. $\rho = 0.6$

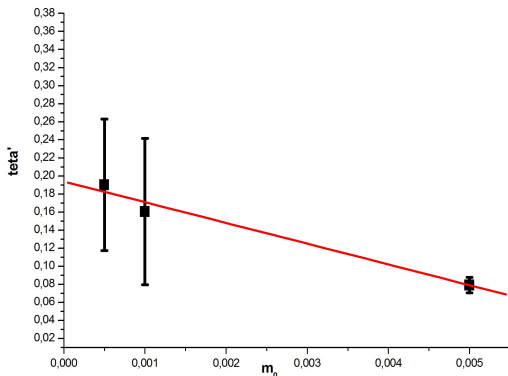


Рис. 7: Зависимость показателя θ' от начальной намагниченности m_0 . $\theta'(m_0 \rightarrow 0) = 0.194$, $p=0.6$

Таблица 3: Итоговые значения критических показателей

| показатель | $p=0.5$ | $p=0.6$ |
|----------------------|-----------|------------|
| θ' | 0.192(26) | 0.194(41) |
| z | 2.740(90) | 2.760(110) |
| $z(F_2)$ | 2.647(48) | 2.627(41) |
| $z(m_0 = 1)$ | 2.655(34) | 2.520(95) |
| β/ν | 0.430(38) | 0.479(76) |
| $\beta/\nu(m_0 = 1)$ | 0.442(25) | 0.490(24) |
| $\beta(m_0 = 1)$ | 0.314(41) | 0.349(38) |
| $\nu(m_0 = 1)$ | 0.711(40) | 0.712(31) |

Таблица 4: Сравнение с другими работами

| Источник | ρ | θ' | β/ν | β | ν | z |
|--|----------|-----------|-------------|-----------|-----------|------------|
| Данная работа | 0.5-0.6 | 0.193(41) | 0.459(40) | 0.331(41) | 0.711(40) | 2.657(34) |
| сильно неупорядоченные системы | | | | | | |
| G. Parisi et. al, 1999 | 0.4-0.6 | | | | | 2.62(7) |
| A.K. Муртазаев, УФН, 2006 | 0.6 | | 0.481 | 0.349(9) | 0.725(9) | |
| Heuer. J. Phys. A., 1993 | 0.6 | | 0.451(18) | | | |
| Shehr G., J. of Phys., 2006 | 0.49-0.8 | 0.10(2) | | | | |
| слабо неупорядоченные системы | | | | | | |
| Prudnikov V. V. et. al, Phys. Rev. E, 2010 | 0.8 | 0.127(16) | 0.519(14) | | | 2.188(23) |
| Pelissetto, Vicari, 2000 (FTM) | | | 0.515(15) | 0.349(5) | 0.685(10) | |
| Prudnikov et. al, 2006 (FTM) | | | | | | 2.1792(13) |
| Rosov, et.al., FeZn1-pF2, 1988 (EXP) | 0.9 | | | | | 2.18(10) |
| Rosov, et.al., FeZn1-pF2, 1992 (EXP) | 0.9 | | | 0.70(2) | | |
| однородные системы | | | | | | |
| Zheng B., J. Phys. A, 1999 | 1 | 0.108(2) | 0.517(2) | | | 2.042(6) |

- Проведено исследование неравновесного критического поведения сильно неупорядоченной модели Изинга с концентрациями $p = 0.5$ и 0.6
- Показано существование двух независимых классов универсальности, соответствующих слабо и сильно неупорядоченным системам

- 1 Формируем начальную конфигурацию
- 2 Случайным образом выбираем спин и пробуем его перевернуть
- 3 Вычисляем изменение энергии ΔE
- 4 Если $\Delta E < 0$, то принимается новая конфигурация
- 5 Если $\Delta E > 0$, вычисляем вероятность перехода $W = \exp(-\Delta E/kT)$
 - Генерируем случайное число r из интервала $(0;1)$
 - Если $r < W$, принимаем новую конфигурацию, в противном случае оставляем старую
- 6 Определяем значения требуемых физических величин
- 7 Повторяем 2-6 для получения достаточного количества конфигураций
- 8 Производим статистическое усреднение